



ВРЕМЕННОЙ АНАЛИЗ ИНТЕРФЕРЕНЦИОННЫХ ЯВЛЕНИЙ В ЯДЕРНЫХ РЕАКЦИЯХ

Н.Л. Дорошко, В.С. Ольховский, С.А. Омельченко

Данная работа является продолжением работ по исследованию влияния интерференционных эффектов в амплитудах рассеяния на времена и сечения протекания ядерных реакций, представленных в [1,2]. Принимая во внимание результаты [3], мы рассмотрели во временном подходе явление интерференции между прямыми и резонансными процессами реакции



в лабораторной системе и показали его качественное отличие от явления интерференции в системе центра масс. Была исследована также роль фазового параметра ϕ , описывающего пространственно-временной сдвиг между вылетающими протонами и частицами, испускаемыми источником в лабораторной системе.

Как известно, существует два механизма реакции (1), представленные на Рис.1. Рис.1а описывает прямой процесс одновременной быстрой эмиссии двух конечных частиц при рассеянии в точке S_0 , происходящей по схеме



На Рис.1б изображен процесс задержанного распада промежуточного возбужденного ядра, схема которого такова:



(а) и (б) - это обозначения регистрирующих детекторов, помещенных на больших расстояниях r_1 и r_2 от точки рассеяния S_0 .

Для очень больших макроскопических расстояний до детектора можно считать углы θ_1 и $\tilde{\theta}_1$, равно как и импульсы k_1 и \tilde{k}_1 , совпадающими с большой точностью. Поэтому для асимптотического волнового пакета, используя общий формализм [1] с применением асимптотических стандартных функций, мы можем записать следующее выражение:

$$\Psi_{t_1 \rightarrow \infty} = \text{const} \int dk_x g_i(k_x) \int dk_1 g_y(k_1) \int dk_2 \delta(E_i - E_f) \delta(k_i - K_f) \exp(-iE_f t / \hbar) \cdot$$

$$\left[f_{dir}^{(L)}(E_1, E_2, \theta_1, \theta_2) \exp(ik_1 r_1 + ik_2 r_2) + \frac{J_{C \rightarrow L}^{(C)} \gamma_{Z^*}^{(C)}(E_1, E_2)}{E_Z - E_{res,Z} + i\Gamma_Z / 2} \exp(ik_1 r_1 + ik_2 r_2) \right] \quad (2)$$

Здесь $g_i(k_x)$ и $g_y(k_1)$ - амплитудные весовые множители, описывающие поток импульса бомбардирующей частицы x и ограничение на поток импульса конечной частицы y на детекторе (б),

$$f_{dir}^{(L)} = \sqrt{J_{C \rightarrow L}} f_{dir}^{(C)} \quad (2a)$$

-амплитуда прямого процесса в L -системе, $\gamma_{Z^*}^{(C)}$ - множитель амплитуды резонанса для процесса распада $Z^* \rightarrow y + Y$, E_Z^* - энергия возбуждения ядра Z^* , $F_{res,Z}$ и Γ_Z - энергия и полная ширина резонансного состояния ядра Z , $J_{C \rightarrow L}$ - якобиан перехода от C -системы к L -системе, r_k и \tilde{r}_k ($k=1,2$) - расстояния от точек S_0 и S_1 соответственно и $\{E_i, k_i\}$ и $\{E_f, k_f\}$ - общие энергия и импульс во входном и выходном канале соответственно, $E_i = \hbar^2 k_i^2 / 2m_i$ - кинетическая энергия i -ой частицы с массой m_i ($i=1,2$ соответствует частицам y и Y соответственно).

$\{k_1, \theta_1\}$ - волновой вектор и угол между волновым вектором 1-ой частицы и волновым вектором K_x бомбардирующей частицы, $\delta(E_i - E_f)$ и $\delta(k_i - K_i)$ является следствием законов сохранения энергии и импульса. Несущественный множитель r_1^i, r_2^i и все внутренние и спиновые координаты в выражении (2) для простоты опущены.

Выделим в $\exp(-iE_f t/h)$ два множителя $\exp(-iE_1 t/h)$ и $\exp(-iE_2 t/h)$ и перейдем в двух формально выбранных интегралах

$\int dk_1 g_y(k_1) \exp(ik_1 r_{1m} - iE_1 t/h)$ и $\int dk_2 \exp(ik_2 r_{2m} - iE_2 t/h)$ от переменных $k_{1,2}$ к переменным $y_{1,2} = (i\hbar t/m_{1,2})^{1/2} (k_{1,2}^0 - m_{1,2} r_{1,2} / (\hbar t))$; g_y , для простоты, запишем в Лоренцевой форме

$$g_y \sim C_1 / (E_1 - E_1^0 + i\Delta E) \quad (3)$$

и рассмотрим очень малые ΔE ($\Delta E \ll \Gamma$). Тогда, используя результаты подобных расчетов [5,6], получим:

$$\Psi_{t \rightarrow \infty} \cong 0 \quad \text{для} \quad \begin{cases} t < t_1 + r_1/V_1^0 \\ t < t_1 + r + \tilde{r}_1/V_1^0 \end{cases} \quad \text{и} \quad (4a)$$

$$\Psi_{t \rightarrow \infty} = \text{const} \exp(-iE_f^0 t/h) \exp(ik_1^0 r_1 + ik_2^0 r_2) \left\{ f_{dr}^{(L)} \exp[-\Delta E[(t-t_1-r_1/V_1^0) + (t-t_1-r_2/V_2^0)]/h] + \frac{\int_{C>L}^{j/2} \mathcal{V}_Z^{(C)}}{E_Z^* - E_{res,Z} + i\Gamma_Z/2} \exp[-\Delta E[(t-t_1-\tilde{r}_1/V_1^0) + (t-t_1-\tilde{r}_2/V_2^0)]/h] \cdot \right.$$

$$\left. \exp(ik_1^0 \Delta r_1 + ik_2^0 \Delta r_2) \right\} \quad \text{для} \quad \begin{cases} t > t_1 + r_1/V_1^0 \\ t > t_1 + r + \tilde{r}_1/V_1^0 \end{cases} \quad (4b)$$

Здесь $V_{1,2}^0 = \hbar k_{1,2}^0 / m_{1,2}$, $\Delta r_{1,2} = V_{1(1,2)} \tau$, где $V_{1(1,2)}$ - проекция скорости Z^* -ядра на направление $k_{1,2}$. Начальный момент t_1 определяется фазой входного амплитудного весового множителя g . Среднее значение продолжительности движения τ для ядра Z^* определяется хорошо известным выражением [7].

$$\tau = \frac{\hbar \Gamma_Z / 2}{(E_Z^* - E_{res,Z})^2 + \Gamma_Z^2 / 4} \quad (5)$$

Сечение процесса определяется интегрированием по времени величины

$\Psi_{t \rightarrow \infty}^* \hat{J}_1 \Psi_{t \rightarrow \infty}$ (\hat{J}_1 представляет собой оператор плотности потока вероятности для частицы y) в течение времени разрешения (которое является гораздо большим, чем временная протяженность обычного волнового пакета) с одновременным пространственным интегрированием вдоль волнового пакета второй частицы y , то есть

$$\sigma(\theta) \approx \int_{t_{min}}^{\infty} dt \int_{r_{min}}^{r_{max}} dr_2 \Psi_{t \rightarrow \infty}^* \hat{J}_1 \Psi_{t \rightarrow \infty} \approx \int_{t_{min}}^{\infty} dt \int_0^{V_2^0(t-t_1-r_2/V_2^0)} dr_2 |\Psi_{t \rightarrow \infty}|^2 \quad (6)$$

где t_{min} - минимальная величина между $t_1 + r_1/V_1^0$ и $t_1 + \tilde{r}_1/V_1^0$, $r_{2,max}$ - максимальная величина между $V_2^0(t-t_1-r_2/V_2^0)$ и $V_2^0(t-t_1-\tilde{r}_2/V_2^0)$ и $r_{2,min} \rightarrow 0$ для обычных малых по сравнению с $\Gamma_{2,max}$ волновых пакетов.

Можно легко убедиться, что при стандартных экспериментальных условиях для квазимонохроматических волновых пакетов и для изолированных резонансов компаунд-ядер, когда $\Delta E \ll \Gamma$, $0 < \tau \leq 2\hbar/\Gamma$, откуда $\Gamma \ll 2\hbar/\tau$, а, значит $\Delta E \ll 2\hbar/\tau$.

$$\Delta E\tau / \hbar \ll 2 \quad (6a)$$

и абсолютные величины всех разностей

$$\frac{r_l}{V_l^0} - \frac{r_m}{V_m^0} \quad (l \neq m = 1, 2) \quad (6b)$$

гораздо меньше временного разрешения, получаем

$$\sigma = \sigma_{0(\text{incoh})} + \sigma_{1(\text{interf})} \quad \text{где} \quad (7)$$

$$\sigma_{0(\text{incoh})} \cong |f_{dr}^{(L)}|^2 + \frac{J_{C \rightarrow L} \gamma_Z^{(C)2}}{(E_Z^* - E_{\text{res},Z})^2 + \Gamma_Z^2/4} \quad \text{и} \quad (8)$$

$$\sigma_{1(\text{interf})} = 2 |f_{dr}^{(L)}| \frac{J_{C \rightarrow L} \gamma_Z^{(C)}}{E_Z^* - E_{\text{res},Z} + i\Gamma_Z/2} |\cos\Phi| \quad (9)$$

в произвольных единицах. В соотношении (9) полная фаза дается выражением

$$\Phi = \delta + \beta + \varphi \quad (10)$$

$$\delta = \arg(i \tilde{J}_{C \rightarrow L} \gamma_Z^{(C)}) - \arg(f_{dr}^{(L)}) \quad (10a)$$

$$\beta = \arg\{(E_Z^* - E_{\text{res},Z} + i\Gamma_Z/2)^{-1}\} \quad (10b)$$

$$\varphi = ik_1^0 \Delta r + ik_2^0 \Delta r \quad (10c)$$

$$f_{dr}^{(L)} = \sqrt{J_{C \rightarrow L}} f_{dr}^{(C)} = \sqrt{J_{C \rightarrow L}} f_b(E_1^C, \theta_1^C) \quad (11)$$

$$\frac{J_{C \rightarrow L} \gamma_Z^{(C)}(E_1, E_2)}{E_Z^* - E_{\text{res},Z} + i\Gamma_Z/2} = f_{l,\text{res}}(E_1^C, \theta_1^C) \quad (12)$$

В выражениях (11) и (12) $f_b(E_1^C, \theta_1^C)$ и $f_{l,\text{res}}(E_1^C, \theta_1^C)$ - два вклада амплитуды рассеяния в С-системе.

В С-системе источник выходящих волн для обоих процессов прямого и распада неизменен и неподвижен, так что интерференционная картина определяется обычной суперпозицией амплитуд для обоих процессов. В L-системе движение распадающихся компаунд-ядер, движущихся с С-системой, вызывает сдвиг источника выходящих волн для процессов резонансного распада относительно источника выходящих волн для прямых процессов и результирующая интерференция может быть сложной.

На Рис. 2 изображены сечения в относительных единицах для некоторых типичных случаев значений δ_0^b , взятых с учетом интерференционного вклада и без него ($\varphi \neq 0$) и ($\varphi = 0$) соответственно. Сравнение результатов, представленных на Рис. 2б с аналогичными результатами, представленными на Рис. 2г, наглядно демонстрирует роль фазы φ , в то время как сравнение Рис. 2б и 2в или Рис. 2г и 2д представляет роль, которую играет фазовый сдвиг фона δ_0^b , соответствующий определенным значениям φ . Более того, с изменением значения фазы φ , значение энергии налетающей частицы, соответствующее резонансной энергии E_r , меняется тоже.

Мы можем заключить, что для фазового сдвига фона $\delta_0^b = 0$ и р-волнового резонанса или $\delta_0^b = 0$ и S-волнового резонанса значения сечения не зависят от фазы φ , в то время как для $\delta_0^b \neq 0$ и р-волнового резонанса или $\delta_0^b \neq 0$ и S-волнового резонанса существует заметное различие между расчетами, полученными, когда полагаем $\varphi = 0$ и когда $\varphi \neq 0$, а выбирается в соответствии с

выражением (10с). Расчеты, представленные для р-волнового резонанса с параметрами $l=1, l'=0, \theta=0$ продемонстрировали, что это различие более всего зависит от δ_0^b и φ и для больших значений $\delta_0^b (\geq \pi/4)$ или $\varphi (\geq \pi/4)$ оно становится существенным.

Поэтому при выборе параметра φ в тех случаях, когда присутствует резонанс, обусловленный сдвигом источника выходящих волн для процессов распада относительно источника прямых процессов, это различие необходимо принимать во внимание, чтобы правильно модифицировать преобразование от L-системы к C- системе и наоборот.

Литература

1. Olkhovsky V.S., Doroshko N.L., Evr. Let. -1992. -18, N6.-P.483-486
2. A.D'Arrigo, N.L.Doroshko, V.S.Olkhovsky et al, Nucl.Phys. -1992. -A549. -P.375-386
3. N.V.Eremin, G.Giardina, V.S.Olkhovsky and S.A.Omelchenko.- Modern Phys. Let.A, Vol.9, N31(1994). -P.2849- 2856
4. M.L.Goldberger and K.M.Watson, Collision Theory, J.Wiley and Sov, Inc., N.Y.-L.-Syney, 1964.
5. A.I.Baz, Ya.B.Zel'dovich and A.M.Perelomov, Scattering, Reactions and Decay in Nonrelativistic Quantum Mechanics, Jerusalem (1969).
6. L.Rosenfeld, Nucl.Phys., 70(1965), 1-27.
7. V.S.Olkhovsky and G.A.Prokopets. Sov.J.Nucl.Phys. 30 (1979) 48.

Приложение

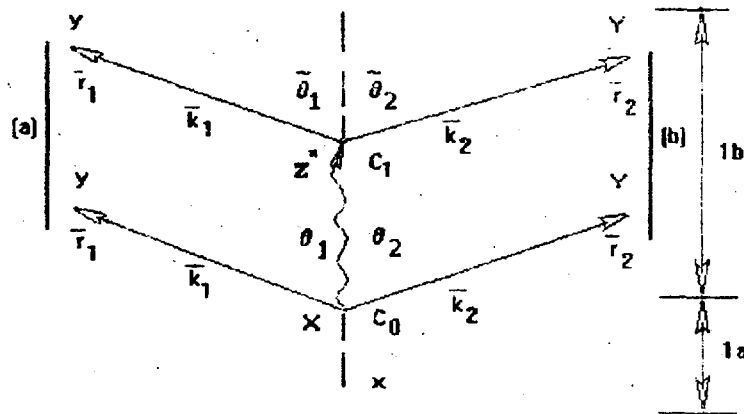


Рис.1. Механизмы экспериментально неразличимых, но микроскопически различных процессов (1) и (2).

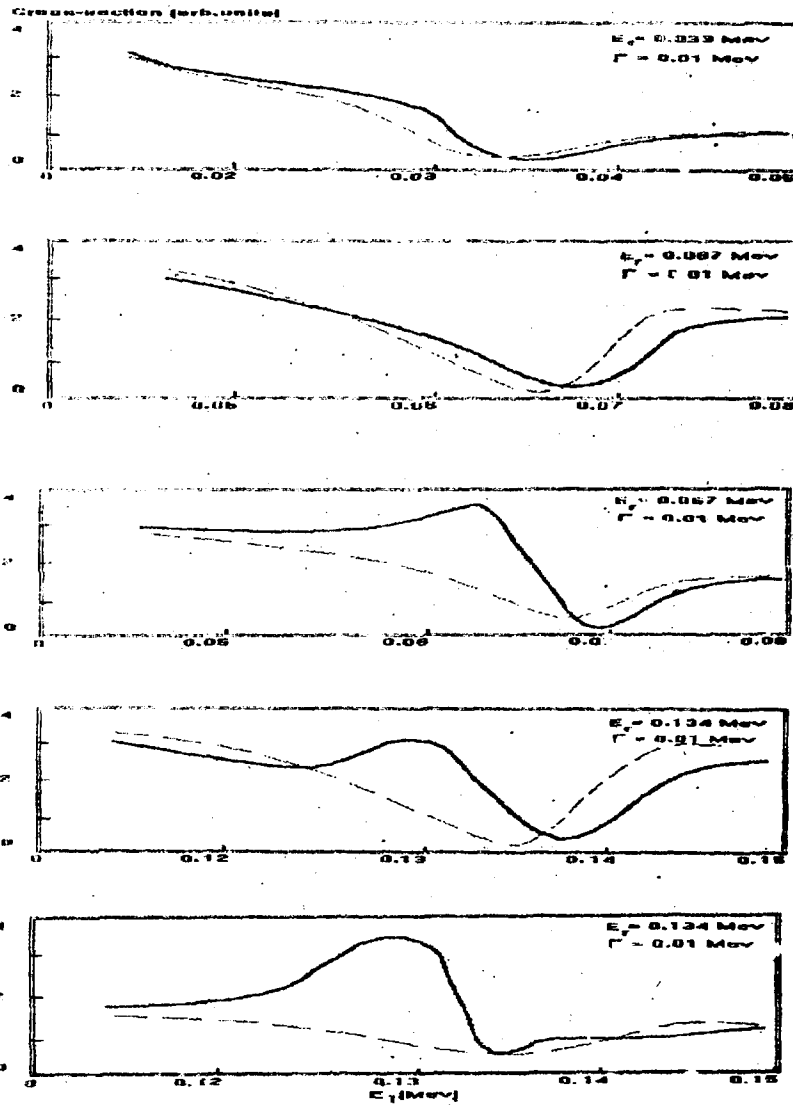


Рис.2. Зависимость $\sigma(E_1)$ при $\theta_1=0^\circ, l=1, l'=0$ с интерференционным вкладом ($\varphi \neq 0$, сплошная линия) и без него ($\varphi=0$, пунктирная линия) для некоторых типичных случаев фазовых сдвигов δ_0^b : а) $\delta_0^b = \pi/2, \delta_1^b = \pi/2, \varphi = \pi/4$; б) $\delta_0^b = \pi/4, \delta_1^b = \pi/2, \varphi = \pi/2$; в) $\delta_0^b = \pi/2, \delta_1^b = \pi/2, \varphi = \pi/2$; г) $\delta_0^b = \pi/4, \delta_1^b = \pi/2, \varphi = \pi$; д) $\delta_0^b = \pi/2, \delta_1^b = \pi/2, \varphi = \pi$.